

**23972**

**ANKARA ÜNİVERSİTESİ  
SAĞLIK BİLİMLERİ ENSTİTÜSÜ**

**DOĞRUSAL OLMAYAN BüYÜME MODELLERİNİN  
İNCELENMESİ VE PARAMETRE TAHMİNİ**

**Filiz ERSÖZ**

**YÜKSEK LİSANS TEZİ**

**Veteriner Fakültesi Zootekni Anabilim Dalı  
Biyometri Bilim Dalı**

**DANIŞMAN  
Prof. Dr. Orhan ALPAN**

**1992 - ANKARA**

**T.C. YÜKSEK ÖĞRETİM VE  
DOKÜMANTASYON MERKEZİ**

**23 972**

**İÇİNDEKİLER**

	Sayfa
1. GİRİŞ .....	1
2. LİTERATÜR BİLGİSİ .....	4
3. MATERİYAL VE METOD .....	13
3.1. Materyal .....	13
3.2. Metod .....	13
4. BULGULAR VE TARTIŞMA .....	20
5. ÖZET .....	35
6. İNGİLİZCE ÖZET (SUMMARY) .....	37
7. KAYNAKLAR .....	38
8. TEŞEKKÜR .....	41
9. ÖZGEÇMİŞ .....	42
10. EKLER .....	43

## 1. GİRİŞ

Biyolojik olarak boyüme, mevcut kitleye, yeni moleküllerin eklenmesiyle canlıların vucudunda meydana gelen artıştır. Canlı varlıklar kitlelerini artırmak için çeşitli besin maddelerini kendilerine özgür maddelere çevirir. Buna özümleme olayı denir. Canlılarda boyüme, vucutta hücre sayısının artışı, hücre boyutlarının artışı yada her ikisinin artışı ile şekillenir. Boyüme değişik kriterler ile belirlenir. Bunlar arasında başta gelen kriter, ağırlık artışıdır. Ağırlık artışının yanında boy uzunluğu gibi bazı vucut ölçöleri de boyüme kriteri olarak kullanılır.

Boyüme analizi, birçok çalışma alanlarında incelenmektedir. Örneğin; Biyologlar, organizmalarda, bitkilerde ve hayvanlarda boyüme olayını gözlemektedir. Kimyacılar, bir kimyasal tepkimenin zaman içinde meydana gelen etkisini formüle etmeye çalışmaktadır. Tıpta, bebeklerin normal olarak boyumesinde, boyume üzerine etki yapan faktörler, bazı hormonlarla boyume arasındaki ilişkiler, boyume üzerindeki etkiler gibi boyume olayı değişik yönlerden incelenmeye çalışılmaktadır. Ekonomide ve sosyal bilimlerde, üretim, tüketim, arz, talep, toplumun gelir düzeyi, ülkelerdeki ekonomik gelişmeler ve nüfus hep boyume kavramı içinde incelenmektedir. Ziraatte ise, bitkilerin ne kadar hızla boyudugu, çevresel şart ve faktörlerin bitkiyi nasıl etkilediği ve bitkinin boyume hızının ekonomi ve yönetim açısından ne gibi avantajlar sağladığı konularında

çalışılmaktadır. Böylece büyümeye olayı, değişik bilim dallarında değişik yönleri ile incelenmektedir. Ancak botan bu alanlarda ortak olan "büyümeye" olgusudur. Konu fare olabilir, fil olabilir, çelik öretime olabilir, refah olabilir. Botan bu farklı konulardaki büyümeyenin ortak bir modeli olmalıdır.

Büyümeyen tanımlanması için uzun bir zaman periyodu boyunca birçok değişik modeller geliştirilmiştir. Bu zaman periyodu içinde, özerinde durulan ana tema, doğrusal olmayan bir gelişme şeklinde belirmiştir. Bu modellerin gerçeğe uyumu, ortalama davranışları ve tanımlanan eğilimi ile büyümeye eğrisi ortaya konulmaya çalışılmıştır.

Büyüme verilerinin analizinde iki temel yaklaşım vardır. Bunlardan birisi istatistiksel yaklaşım ve diğerinin mekanik yaklaşımıdır. İstatistiksel yaklaşım yalnızca deneySEL ve çokdeğişkenli modellerde kullanılan polinom egrilerinin uygunluğunda kapsanan bilgilerden oluşur. Bu modellerdeki teoriyi Seber (21) tanımlamıştır. Biyolojik büyümeye, mekanik yaklaşım içinde kabul edilir. Bu yaklaşım, biyolojik esaslı olup, biyolojik parametreleri içeren modellerle ilgiliidir. Büyüme modellerinin tarihsel gelişimi konusundaki bilgiler, Sandland (20) tarafından geniş biçimde verilmiştir.

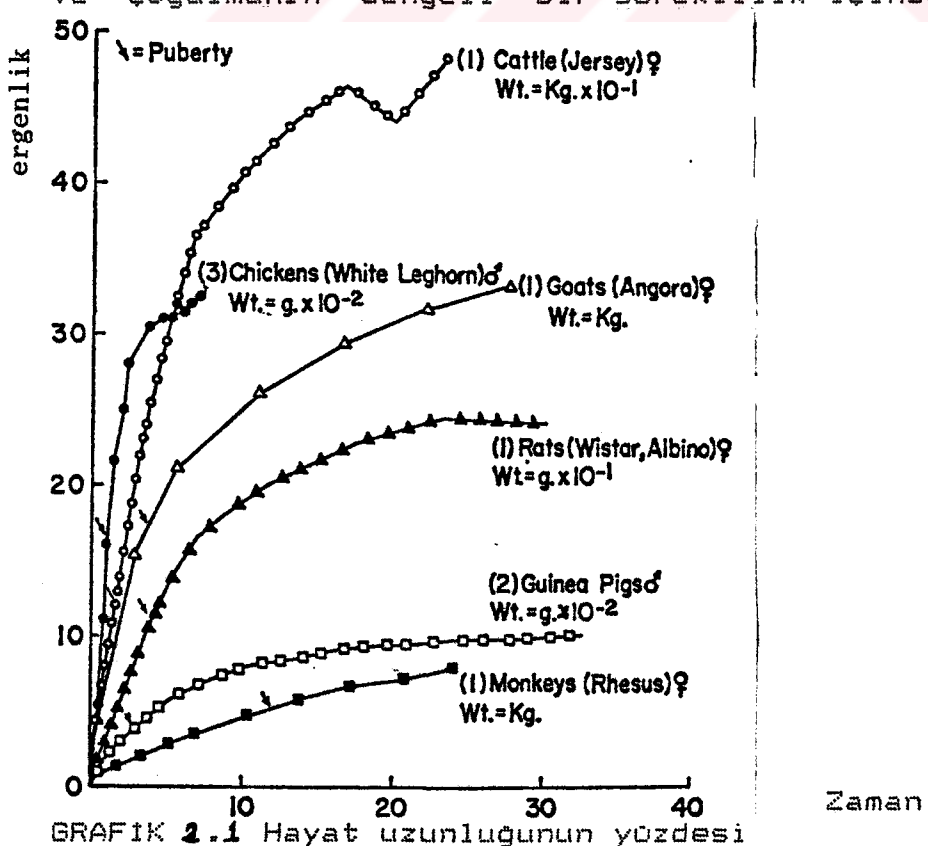
Doğrusal olmayan modellerle parametre tahminleri yapılabilmesi için genellikle, tekrarlı teknikler kullanılmaktadır. Bu alanda birçok metodlar teklif edilmiş ve özerlerinde ayrıntılı yorumlar yapılmıştır.

Bu çalışmanın amacı, doğrusal olmayan büyümeye modellerinden biyolojik büyümeye uygun olanlarını tanımlamak ve tavuk yetiştiriciliğinden alınan veriler üzerinde işlemler yürüttükten sonra tavuklarda büyümeyen istatistik yorumunu yapmak ve bu alanda çalışan uygulayıcılara yol göstermektir.

## 2. LITERATOR BİLGİSİ

Boyueme modelleri, belirli alanlarda ve problemlerde, ilgilenilen özel konuya göre değişmektedir. Araştıracılar, büyümeyi oluşturan kurallar hakkında belirli varsayımlar yoroterek ve bu varsayımları differansiyel denklem yada fark denklemleri şeklinde göstererek model oluştururlar (8).

Birçok araştırcı, hayvan gelişimini farklı safhalara ayırarak her bir dönem esnasındaki zaman-boyuume ilişkilerini incelemiş ve değişik modellerle boyomenin istatistik analizlerini yapmış, büyümeye tahmin metodlarını geliştirmiştir. (4,12,9,13). Ancak araştıracılar boyomenin bir bütün olarak ele alınmasında birleşmişlerdir. Büyüme analizi için tüm eşitliklerin kullanılımında ortak gorus büyümeyenin noktadan noktaya oluşmadığı, bütün hayvan tür ve ırklarında azalma ve çoğalmanın dengeli bir süreklilik içinde yer aldığıdır.



Grafik 2.1 'de altı farklı hayvan türünde zaman olarak ergin çağ yüzdesine göre canlı ağırlıklar görülmektedir (2,23,25). Grafiklerde yer alan eğrilerden de görüleceği gibi hayvanların canlı ağırlıkları zaman akışı içinde genellikle artma yönünde olmuştur. Bazı hayvan türlerinde ileri dönemlerde bir miktar azalma meydana gelmiştir. Ergin çağın ilk % 10 luk aşamasında yaş ile beraber ağırlık artışındaki değişimler doğrusal bir nitelik gösterdiginden artış ve azalışlarda dengenin nispeten sabit kaldığı bildirilmiştir (2,23,25). Zaman yüzdesi periyodu eğim gösterdikten sonra yaş ve ağırlık içindeki değişimler maksimum değere yaklaşlığında tekrar doğrusal modele döner. Yaş artışı ile beraber ağırlık içindeki değişimler aynı modeli izleme eğiliminde olsa bile türler arasında bir farklılık vardır. Grafikte görüldüğü gibi Rhesus maymununun, boyome eğrisinde hayat süresinin yüzde yirmisi içinde kademeli olarak ağırlık artışı görülmüştür. Diğer hayvanlarda ise (sığır, tavuk, fare, domuz, keçi), yaşam sürelerinin yüzde on-onbaşını tamamlamadan önce artma eğilimi göstermiştir. Tavuk ve sığırların boyome eğrilerinin benzerliği, onların hızlı boyome ve erken olgunluğa erişmeleri yönünde yapılagelmiş olan seleksiyon uygulamaları ile ilişah edilmiştir (15,6).

Grafik 2.1 'de görülen hayvan gruplarında boyome eğrisindeki dönüsecm , cinsel ergenlikden hemen sonra oluşmaktadır. Bununla beraber Jersey sığırlarında ve White Leghorn tavuklarında ergenlik, ilk doğrusal boyome safhasının

merkezine yakın olarak meydana gelir (15,6). Gerek Jersey sigır ırkı gerekse Leghorn tavuk ırkı hayvanlar verim özelliklerini doğrultusunda kuvvetli bir seleksiyona maruz kalmıştır. Bu kuvvetli seleksiyon etkisi sonucu hayvanlarda hem cinsel gelişme hem de yapısal gelişme hayatın erken dönemlerine kaymıştır. Bu durum özellikle Leghorn tavuklarında çok daha belirgindir. Fareler ve kobaylar gibi hayvansal oron öretimi söz konusu olmayan hayvanlarda ise ortalama tipte bir büyümeye modeli gorolur.

Büyüme grafigi hayvan yaşıının değişik dönemlerinde farklı özellikler gösterir. Bu değişimler, her bir hayvan türü için belirgin olan büyümeye modeli gösterirler. Genellikle, embriyodan bedensel ergenliğe erişene kadar bir hayvanın büyümeye safhalarında sırası ile: sinir sistemi, kemik dokusu, kas dokusu, yağ yapımı ve depolanması ön plana çıkar (17,14,6). Hayvanların büyümeleri ve gelişmesi boyunca meydana gelen değişimler ayrıntıları ile incelenmiş ve yorumlanmıştır.

Büyüme nicel bir karakteristiktedir. Ağırlık, yükseklik ve hücrelerin sayısı nicel karakteristiklerdir. Bu nedenle birçok ölçülebilen karakteristikler büyümeyi temsil eder. Ayrıca büyümeye içindeki zaman birimlerinin eşit aralıklarla olması gereklidir. Ya da matematiksel olarak günlere, saatlere ve dakikalara ilişkili olması gereklidir.

Zamanın bir fonksiyonu olarak, ağırlık yada yükseklik gibi değişebilen nicel veriler için doğrusal olmayan istatistiksel metodlar kullanılabilir. Bu yüzden ağırlık,

bağımlı değişken, zaman da bağımsız değişken olarak adlandırılır.

Nicel karakterlerin değişim tahmini için kullanılan metod regresyon analizidir. Örnek alınan fonksiyonda, bağımsız değişken hayat uzunluğunun yüzdesi, bağımlı değişken ise vücut ağırlığıdır. Regresyon analizinin amacı, ağırlığı belli bir zamanda tahmin etmek yani, belirli bir zaman dilimindeki gelişimin değişim yüzdesini tahmin etmektir.

Basit regresyon modeli, tek bir bağımsız (serbest) değişken içeren  $Y=a+bx+e$  modelidir. Burada X bağımsız değişken, Y bağımlı değişken ve e hata terimidir. a ve b ise denklemin parametreleridir (20).

Basit doğrusal regresyon modeli şu varsayımlara dayanır:

1. Serbest değişken kontrol altındadır. Nitekim araştırmacı bunları bizzat tesbit ettikten sonra, ele alınan her yaş değeri için vücut ağırlık değişkenini ve rasgele seçilen birimlerdeki değerlerini tahmin edebilir
2. Hata teriminin ortalaması sıfırdır.
3. Hata terimleri arasında otokorelasyon yoktur.

Bağımlı ile bağımsız değişken arasındaki ilişki tam olarak doğrusal ise gözlem noktaları doğrunun üzerinde olacaktır. Böylece sapmalar sıfır olur. Hataların dağılımı ile ilgili olan varsayılmak bağımsız değişkeninin herbir değeri için aynı hata olduğunu söyler. Ağırlık tahminindeki hata, tahmin esnasındaki her yaşda aynıdır. Zaman aralığı yeteri kadar küçükse doğrusal ilişki varsayılabılır (20).

Spector (23), insanların yaşlarına karşılık gelen vücut ağırlıklarının tahmin edilmesinde basit regresyon analizi ile logaritmik fonksiyon yöntemini karşılaştırmıştır. Regresyon yönteminde kullanılan formüller aşağıda verilmiştir.

$$Y = a + bX$$

Fonksiyonun eğimi şu şekilde hesaplanmaktadır.

$$b = \frac{\sum X_i Y_i - \frac{\sum X_i Y_i}{n}}{\sum X_i^2 - \frac{(\sum X_i)^2}{n}} = \frac{\sum XY}{\sum X^2}$$

$Y$  nin  $X$  e göre standart sapması:

$$S_{yx} = \sqrt{\frac{\sum Y_i^2 - \frac{(\sum Y_i)^2}{n} - \frac{(\sum X_i Y_i - \frac{\sum X_i Y_i}{n})^2}{\sum X_i^2 - \frac{(\sum X_i)^2}{n}}}{n-2}}$$

Fonksiyon sabiti:

$$a = \bar{y} - b\bar{x}$$

Korelasyon katsayısı:

$$r = \frac{\sum XY}{\sqrt{\sum X^2} \sqrt{\sum Y^2}}$$

Buraya kadar verilen formüllerde;

$X_i$ ; Bağımsız değişken için gözlemlenmiş değerler

$Y_i$ ; Bağımlı değişken için gözlemlenmiş değerler

a ; Bağımsız değişken sıfır iken bağımlı değişkenin tahmini

b ; Regresyon katsayısı ya da fonksiyonun eğimidir.

x ; Herbir bağımsız değişkenin ortalamadan farkı.  $x = \bar{x}_i$

y ; Herbir bağımlı değişkenin ortalamadan farkı.  $y = \bar{y}_i$

Kullanılan Logaritmik yöntemdeki formüller;

$$\text{Log}y' = \text{Log}a' + b\text{Log}x' \quad (\text{10 tabanına göre})$$

$$\text{Ln}y' = \text{Ln}a' + b\text{Ln}x' \quad (\text{e tabanına göre})$$

$$Y = a + bx$$

$$y = \text{Log}y' \quad (\text{veya } \text{Ln}y')$$

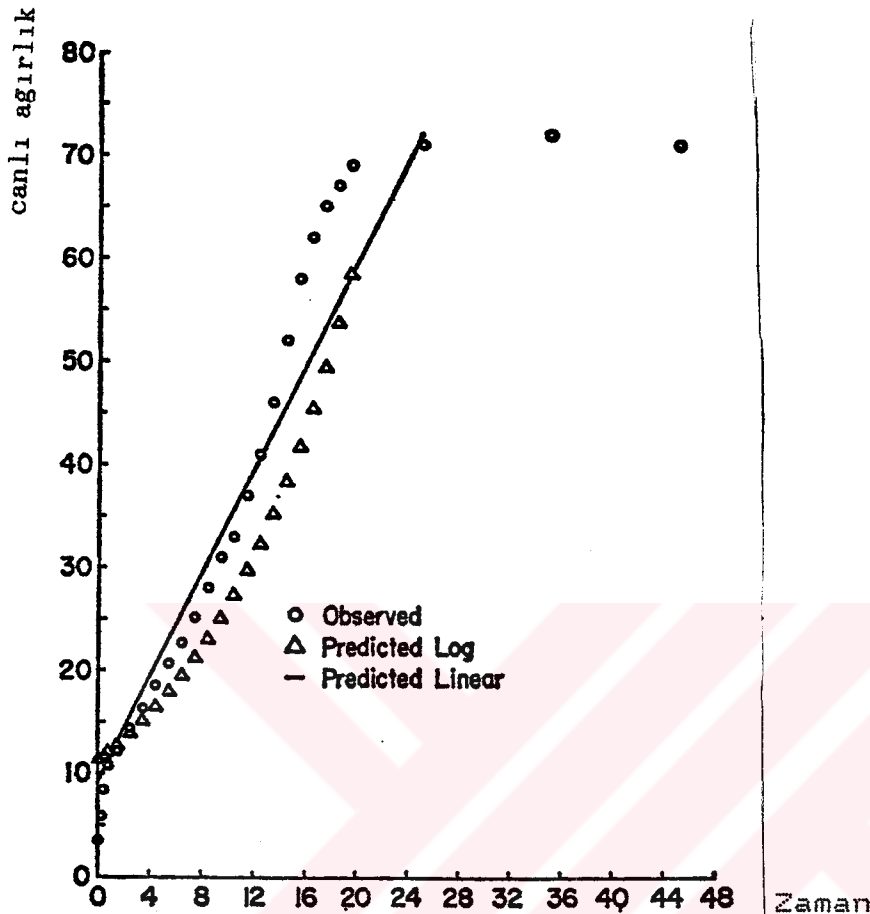
$$a = \text{Log}a' \quad (\text{veya } \text{Ln}a')$$

$$X = \log x' \quad (\text{veya } \text{Ln}x')$$

$$y' = a + bx$$

$$\text{Ln}y' = a + bx$$

Zaman içindeki vücut ağırlığı artışlarına ait gözlemlenmiş değerleri ile logaritmik ve lineer tahmin sonucunda bulunan değerlere ait doğru ve egriler Grafik **1.2** gösterilmiştir (23).



Grafik 2.2 Zamana bağlı olarak vücut ağırlığı artışı.

O Gözlenmiş değerler

Δ Log tahmini sonucu bulunan değerler

- Doğrusal tahmin sonucu bulunan değerler

Grafikte 2.2 görüldüğü gibi gözlenen büyümeye eğrisine, basit regresyon analizi yöntemi ile bulunan eğriden çok, Logaritmik yöntemle bulunan eğri daha uygundur.

Büyüme eğrisi çalışmaları (21) Savannah maymunlarında da uygulanmıştır. Savannah maymunlarında genelleştirilmiş lojistik model ve Gompertz tipi modeller, ortalama ağırlık

artışına uygulanmıştır (21).

Shohoji ve Sasaki (21) ortalama vücut ağırlığını esas alarak t yaşındaki ağırlık ilişkisini hesaplamalarla sunmuştur. T yaşına ait fonksiyon:

$$J(t) = \frac{Y_t - g(t)}{U - g(t)}$$
 olarak ifade edilmiştir.

Count (1943) modeli:

$$g(t) = C + Dt + E \log t$$

Count, kendi modelini doğum ile süt kesimi ağırlıkları arasındaki ortalama ağırlığı, büyümeye modelinde kullandı. C, D, E ve U parametreleri bilinmediğinde t yaşındaki genel büyümeye modeli:

$$W(t) = g(t) + J(t)[U - g(t)]$$

Bu model doğuştan ergin döneme kadar olan ortalama ağırlığının genel modelidir (21). J(t) relativ erginlik ölçüsü olarak tanımlamışlardır.

$$J_1(t) = 1 + \left( \frac{Fe^{-At}}{1 - e^{-At}} \right)^{-1/F} \quad \text{erkekler için}$$

$$J_2(t) = e^{-At} \quad \text{dişiler için.}$$

Burada A, B ve F bilinmeyen pozitif parametrelerdir.  
W(t) genel büyümeye modeli, Gompertz tipi büyümeye modeli için

$J(t)=J_2(t)$  ve genelleştirilmiş lojistik tip için  $J(t)=J_1(t)$   
olarak tanımlanmıştır. Bu metotta elde edilen sonuçlar  
bilinmeyen parametrelerin tahmini için kullanılmıştır.

Büyüme eğrisinin genel karakteri biyolojik olarak  
tanımlanmaktan çok matematiksel olarak tanımlanmıştır.  
Uygulama sonucunda lojistik tipi büyümeyenin erkek materyaline  
daha iyi uyduğu gözlenmiştir. İlkel hayvan türlerinden elde  
edilen büyume modellerinin insanlar için kullanılması olayı  
giderek yaygınlaşmaktadır. Bu durum, botan canlılara  
uygulanabilecek genel bir modelin geliştirilmesi  
çalışmalarını teşvik etmiştir (21).

### 3. MATERİYAL ve METOD

#### 3.1. Materyal

Çalışmanın hayvan materyalini Ankara Üniversitesi Veteriner fakültesi Eğitim, Araştırma ve uygulama çiftliğinde yetiştirilen broiler damızlık tavuklar oluşturmuştur. Çalışmaya Aralık (A), Mayıs (B), Ekim (C) aylarında kuluçkadan çıkan civcivlerle başlanılmıştır. Ayrıca bu ayların ortalamalarına ait değerler de (D) analizde kullanılmıştır.

Damızlık dışı soronon yumurtadan çıkışlarından itibaren 63'üncü haftaya kadar haftalık olarak canlı ağırlık tartımları yapılmıştır. Her seferinde soronon % 10'u kadar hayvan tesadüfi olarak alınmış ve tartımları 10 gr'a hassas tartı aleti ile yapılmıştır. Broiler damızlık tavuk yetiştiriciliğinde 43'üncü haftada ergin beden iriliğine ulaşıldığı kabul edilmektedir (28,29). Bu nedenle, çalışmada kullanılan veriler boyomenin karakterini yansıtacak zaman bölgomu kapsmaktadır.

#### 3.2. Metod

Canlılarda boyome doğrusal olmayan modelleri en iyi yansıtan bir örnek olarak bildirir (22).

Boyomeyi zamana bağlı olarak açıklayan çeşitli modeller önerilmiştir. Bunların ortak Özelliği boyomenin doğrusal olmayan bir model şeklinde açıklanmış olmasıdır. Bu çalışmada aşağıda isimleri ve Özellikleri verilen altı değişik model kullanılarak tavuklardaki boyome eğrisi tanımlanacaktır.

1. Brody büyümeye modeli (5) :

Belli bir zamandaki büyümeye hızı, o zaman başındaki boyukluk ile o zaman sonundaki maksimum boyukluk (asimptotik boyukluk) arasındaki ilişkiye gösterir. Buna göre asimtotik boyukluk  $a$ ,  $t$  zamandaki boyuklukte  $w$  ile gösterilirse, zamana bağlı olarak boyuklukteki degisme,

$$\frac{\partial w}{\partial t} = k(a-w) \quad (3.0)$$

olur (8). Buradaki  $k$ , büyumenin hız katsayısıdır.

Eşitlik 3.0

$$\frac{\partial w}{\partial -w} = k \frac{t}{a} \quad (3.1)$$

şeklinde diferansiyel denklem olarak gösterilir ve iki yanın integrali alınırsa,

$$\int_c^w \frac{\partial w}{\partial -w} = \int_0^t k \frac{dt}{a} \quad -\ln(a-w) + \ln(a-c) = kt \quad (3.2)$$

elde edilir. Eşitlik 3.2 de kullanılan  $c$  integral katsayısıdır. Eşitlik 3.2

$$\ln(a-w) = \ln(a-c) - kt$$

şeklinde yazılır ve iki yanın üsteli alınırsa,

$$a-w = (a-c)e^{-kt} \quad (3.3)$$

eşitliği yazılabilir. Eşitlik 3.3' den,

$$w = \alpha - (\alpha - c)e^{-kt} \quad (3.4)$$

bulunur. Eşitlik 3.4' de  $\beta = \frac{\alpha - c}{c}$  alınırsa,

$$w = \alpha(1 - \beta e^{-kt}), \quad (3.5)$$

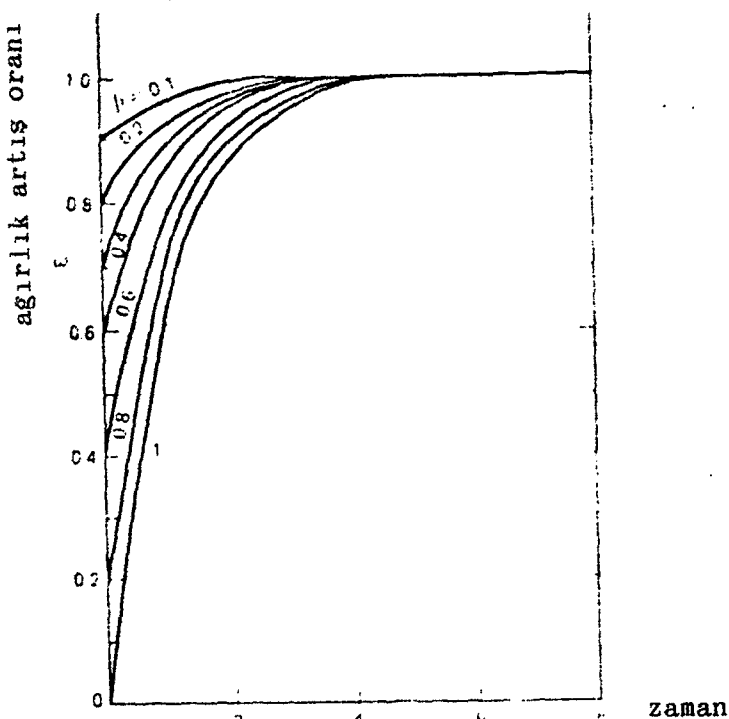
elde edilir. Eşitlik 3.5 monomoleküler büyümeye modeli olarak isimlendirilmiştir. Bu model Brady büyümeye modeli olarak da adlandırılır (10,8).

Eğer  $t_1, t_2, \dots, t_n$  zamanlarındaki gözlemleri  $w_i$  ( $i=1, 2, \dots, n$ ) ile gösterilirse eşitlik 3.5 gösterilen model,

$$w_i = \alpha(1 - \beta e^{-kt_i}) + \varepsilon_i \quad i=1, 2, \dots, n$$

olarak yazılabilir (8).

Bu modeldeki üç parametreli denklemin sadece bir parametreli (8) değişim eğrileri şekil grafik 3.1 de gösterilmiştir.



Grafik 3.1 Çeşitli  $\beta$  değerleri için  $w = 1 - \beta e^{-kt}$  eğrileri

2. Lojistik büyümeye modeli:

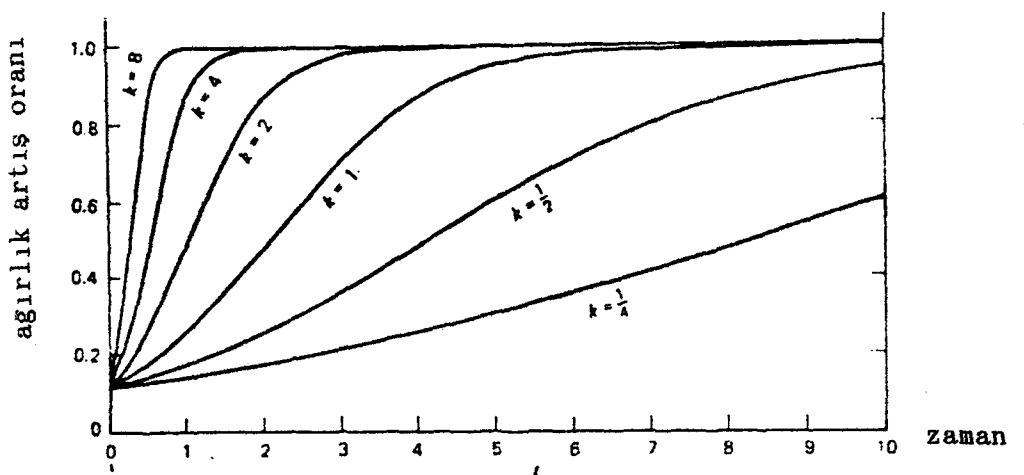
Lojistik büyümeye hızı, mevcut büyökük ve gelecekteki büyümeye miktarıyla orantılı olarak alınırsa,

$$\frac{dw}{dt} = \frac{k w(a-w)}{a}, \quad k>0 \quad (3.6)$$

olur. Eşitlik 3.1 için yapılan işlemler uygulanıp, integrali alınırsa,

$$w_i = a / (1 + \beta e^{-kt_i}) + \varepsilon_i \quad (3.7)$$

elde edilir. Bu eşitlik Lojistik büyümeye modeli yada başka bir deyişle Otokatalistik büyümeye modeli olarak bilinir (19,16,10,8). Lojistik büyümeye modelinde üç parametreli denklemin sadece bir parametreli ( $k$ ) değerleri için eğrileri grafik 3.2 de gösterilmiştir.



Grafik 3.2 Çeşitli k değerleri için  $1/(1+e^{-kt})$  eğrileri ( ).

### 3. Gompertz büyümeye modeli:

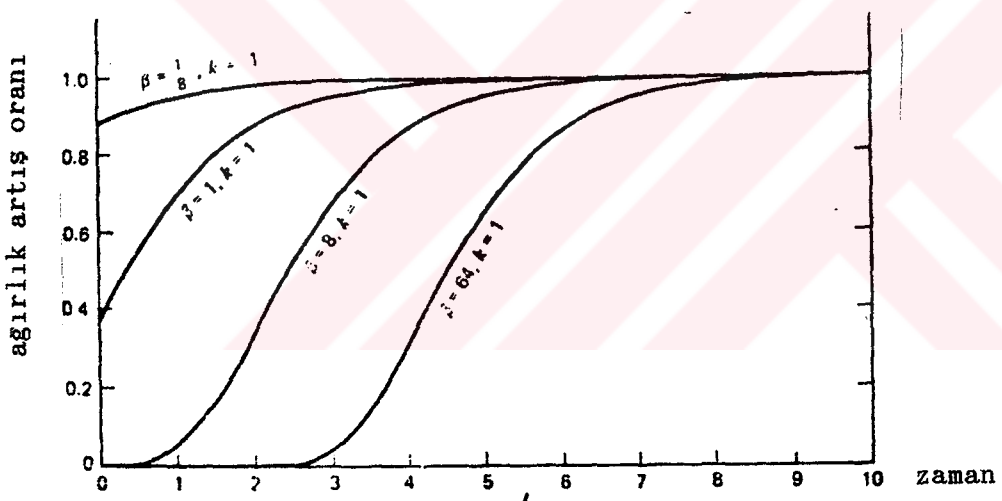
Eğer büyümeye hızı

$$\frac{\partial w}{\partial t} = kw \ln(\alpha/w)$$

olarak alınır ve eşitlik 3.0 ile eşitlik 3.6 için yapılan işlemler burada da uygulanırsa

$$w_i = \alpha \exp(-\beta e^{-kt_i}) + \epsilon_i \quad (3.8)$$

Eşitliği elde edilir. Bu model Gompertz büyümeye modeli olarak belirtilemiştir (10,8).



Grafik 3.3 Çeşitli  $\beta$  ve  $k$  değerleri için  $w = \alpha \exp(-\beta e^{-kt})$  Gompertz modeli eğrileri

### 4. Richards büyümeye modeli:

Richards (18), genel büyümeye modelini,

$$w_i = \alpha(1 - e^{-kt_i})^m + \epsilon_i, \quad i=1, 2, \dots, n \quad (3.9)$$

tanimlamıştır. Richards büyümeye modelinin diğer modellerden farkı, dördüncü parametre olarak  $m$  şekil parametresinin eklenmesidir.

##### 5. Von Bertalanffy büyümeye modeli:

Von Bertalanffy (3), büyümeyi tanımlamak için,

$$w_i = \alpha(1 - \beta e^{-kt_i})^m + \epsilon_i \quad i=1, 2, \dots, n \quad (3.10)$$

modelini kullanmıştır.

Draper ve Smith (8), Richards büyümeye modelinin genel bir büyümeye modeli olduğunu ve diğer büyümeye modellerinin Richards büyümeye modelinin özel durumları olduğunu belirtmişlerdir. Bu yazarlara göre (3.9) Richards büyümeye modelinde,

1.  $m = 1$  olduğu zaman Brody monomoleküler büyümeye modeli,
2.  $m = -1$  olduğu zaman Lojistik (otokatalitik) büyümeye modeli,
3.  $m = 3$  olduğu zaman Bertalanffy büyümeye modeli,
4.  $m \rightarrow \infty$  olduğu zaman Gompertz büyümeye modeli elde edilir.

6. Stevens büyümeye modeli:

Stevens (24), büyümeyi açıklamak için,

$$Y = \frac{x}{a-\beta(p)} \quad 0 < p < 1 \quad | \quad 3.11$$

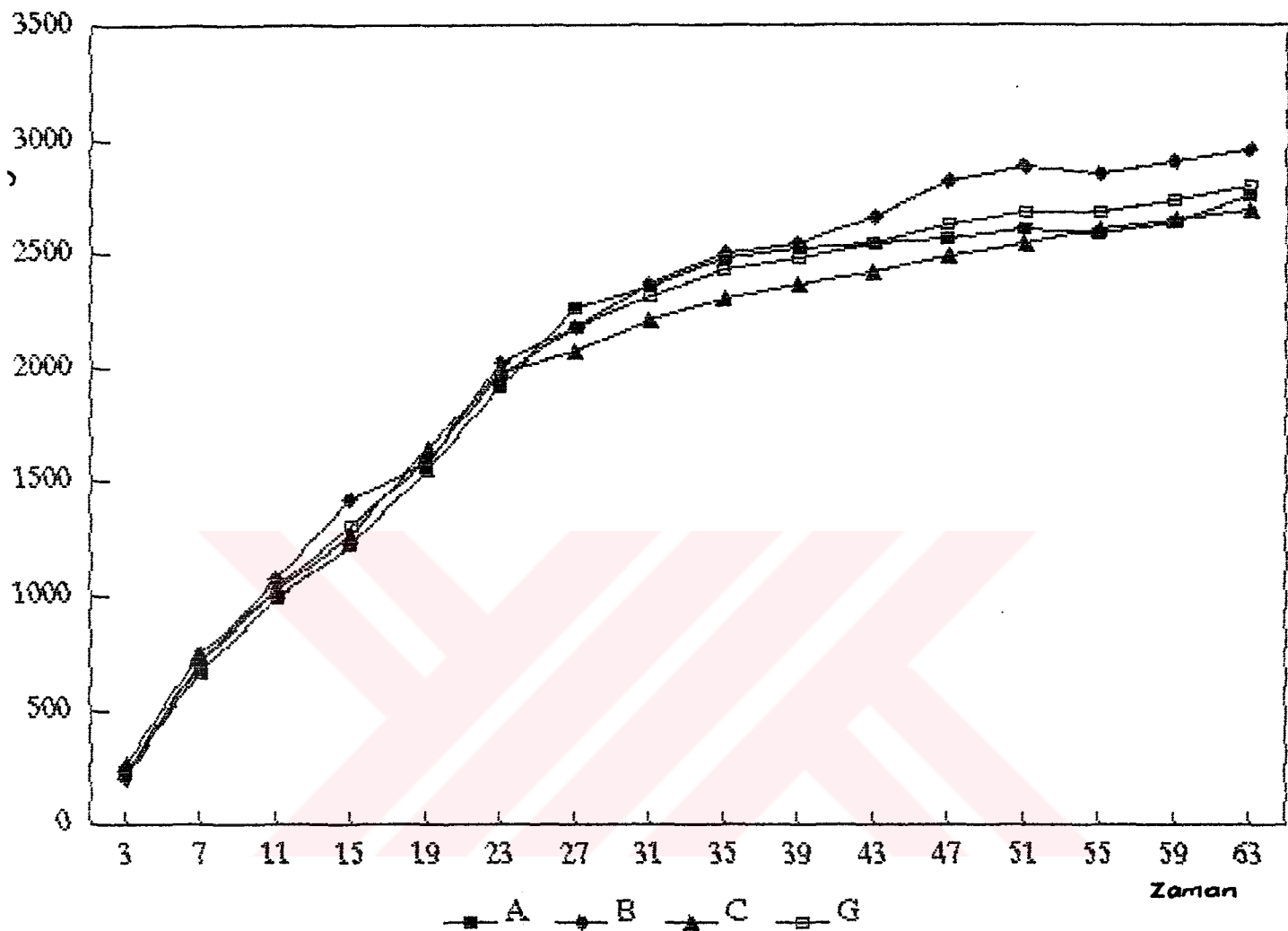
modelini kullanmıştır. Eşitlik 3.11 de asimptotik boyoklugo  $\beta$ , x açıklayıcı değişkeninde sıfırdan  $+\infty$  a kadar olan değişmenin y deki değişimini göstermekte ve  $p$  ise x deki bir birim değişmenin y nin asimptot değeri ile olan farkındaki azalmayı gösteren faktördür. Stevens (24) asimptotik büyümeyi tanımlarken, kurduğu modelin, öteki büyümeye modellerini de içerdigini ve öteki modellerin bu forma dönüştürülebileceğini göstermiştir.

#### 4. BULGULAR VE TARTIŞMA

Ozerinde çalışılan canlı materyal değerleri, Broiler damızlık tavuklardan alınmıştır. Çalışmadaki materyalleri, Aralık (A) , Mayıs (B) , Ekim (C) aylarında kuşluçadan çıkan civcivlerin 63 onçu haftaya kadar olan canlı ağırlıklar ve bu ayların ortalamalarına ait değerler (G) oluşturmuştur. Bu gözlenen değerler aşağıda verilmiştir.

TABLO 4.1 : A , B , C , G dönemlerinde gözlenen değerler

A	B	C	G
142.4	98.2	201.8	147.5
228.3	203.2	265.1	232.2
340.9	305.5	436.9	361.1
440.8	466.2	539	482.0
503.1	603.8	649.8	585.6
662.5	706.4	744.1	704.3
759	792.6	762.9	771.5
760.1	905.4	844.2	836.6
892.9	1024.9	955.2	957.7
992.2	1077.8	1025.3	1031.8
1099.4	1182.7	1096.2	1126.1
1082.2	1288.5	1182.4	1184.4
1142.5	1381.1	1254	1259.2
1221.1	1418	1259.8	1299.6
1307.7	1507.6	1399.3	1404.9
1399.8	1532.9	1504.2	1479.0
1509.3	1530.4	1535.4	1525.0
1542.2	1580.2	1640	1587.5
1670.3	1776.2	1772.2	1739.6
1787.2	1887.2	1814.4	1829.6
1828.9	1958.9	1925.4	1904.4
1912.1	2022.4	1975.8	1970.1
2258.9	2180	2076	2171.6
2352	2365.1	2204.9	2307.3
2482.9	2501	2300.2	2429.0
2526	2544.2	2363.6	2477.9
2547.4	2659.6	2412.7	2539.9
2566.9	2816.2	2488.2	2623.8
2606	2875.1	2544.7	2675.3
2588	2843.778	2605.8	2679.2
2634.4	2897.6	2650.7	2727.6
2750.7	2949.33	2690.7	2796.9



Grafik 4.1 Dönemlere göre civcivlerde canlı ağırlıklar.

Damızlık dışı soronun 3 onca haftadan itibaren 63 onca haftaya kadar haftalık olarak canlı ağırlık tartımları sonucunda, Aralık, Mayıs, Ekim aylarında kuluçkadan çıkan civcivler ile bu ayların ortalamalarına ait değerlerin grafiksel olarak gösterimi grafik 4.1 de gösterilmiştir.

Yaşa bağlı olarak büyümeyi açıklamak, büyümeye modeli oluşturma ve model parametreleri tahmini konusudur. Doğrusal olmayan büyümeye modellerinin, parametre tahminlerini bulmak zor olup, kompleks hesaplamaları gerektirir. Bu amaçla tekrarlama yöntemleriyle çözümleme yapan bilgisayar programları kullanılmaktadır. Bugün, botan Üniversite ve kurumların bilgisayarlarının kotophanesinde doğrusal olmayan parametre tahmini programlarını işletebilmek için amaç fonksiyonunun tanımlanması ve başlangıç parametre tahminleri gerekmektedir.

Doğrusal olmayan modellerin parametre tahmini için statgraph paket programı kullanılabilir. Statgraph programının doğrusal olmayan bölümü, Marguard yöntemi ile çalışmaktadır. Programın avantajı, kullanıcı sadece başlangıç parametre değerlerini yüklemektedir. Program tahmini parametre değerlerini kendisi bulmakta ve çözümleme yapmaktadır. Kullanıcı başlangıç parametre değerlerini yükledikten sonra, hangi model için parametre tahmini istedigini bildirir. İstenilen model programa yüklenikten sonra tahmini parametre değerleri bulunur.

Başlangıç parametre değerlerinin bulunması için A,B,C dönemleri ve toplam G verilere göre ve altı farklı model üzerinde çalışmalar yapılmıştır. Bu dönemleri kapsayan ortalama verilerin başlangıç parametre değerleri üç bilinmeyenli üç denklem yolu ile basic programında çalıştırılarak bulunmuştur. Dönemlere ait ortalama verilerin

ilk, orta ve son değerleri altı farklı modelle eşitlenmiştir.  $\alpha$ ,  $\beta$  parametreleri sadece k cinsinden yazılarak ve basic programı çalıştırılarak denklemi sağlayan k değeri bulunmuştur. Bulunan bu k değeri fonksiyonlarda yerine konularak  $\alpha$ ,  $\beta$  değerleri elde edilmiştir. Sadece Richards boyome modeli dört parametreli olduğundan, m şekil parametresi yerine 0.75 değeri konularak  $\alpha$  bilinmeyenli  $\alpha$  denklem şecline getirilerek çözümleneler yapılmıştır.

Boyome modellerine ait başlangıç parametre tahminleri basic programı çalıştırılarak bulunduktan sonra, Statgraph programında Marguardt yöntemi ile boyome modellerine ait bu başlangıç parametreleri yüklenmiştir. Programın çalışması sonucunda altı farklı boyome modeline ait parametre tahminleri bulunmuştur. Bulunan tahmini parametre değerleri modellerde yerine konularak, tahmini gözlem değerleri elde edilmiştir.

Elde edilen tahmini gözlem değerleri sonuçlarına ait regresyondan ayrılış kareler toplamı,  $\alpha$  parametresi ve  $R^2$  değerlerine bakarak, hangi boyome modelinin gözlem değerlerine daha uygun olduğu saptanabilir. Farklı dönemlere ait ortalama canlı ağırlıkların 63. haftada aldığı en yüksek değer  $\alpha$  olarak tanımlanırsa, tahmini gözlem değerleri sonucunda bulunan  $\alpha$  parametresi daha küçük olamaz. Boyome modelleri formüllerine bakıldığında  $\alpha$  değerinden daha büyük değer olacağı kesindir. Dolayısıyla tahmini parametre sonucunun ilgili döneme ait en yüksek canlı ağırlık artışıdan

koçuk olamaz. Birden fazla bağımsız değişkenin varlığı halinde, bağımlı değişken ile bağımsız değişkenler arasında ne derece sıkı bir ilişki olduğu determinasyon katsayısı ( $R$ ) açıklayan  $R^2$  ile belirlenir. Bağımlı değişkendeki varyasyonun ne kadarının bağımsız değişken tarafından yaratıldığını gösteren determinasyon katsayısı  $R^2$ , büyümeye modellerinin uygunluğunun belirlenmesinde kullanılan önemli kriterlerden birisidir. Gözlem değerleri ile tahminin gözlem değerlerinin arasındaki fark olan hatının en küçük değeri modelin uygunluğunda önemlidir. Büyümeye modellerinin seçiminde, regresyondan ayrılış kareler toplamı en küçük olan modeli daha uygun bulunmuştur. Brody, Lojistik, Bertalanfy, Stevens, Richards, büyümeye modellerine ait bulunan tahmini gözlem değerlerinin, regresyondan ayrılış kareler toplamı,  $\alpha$  parametresi ve  $R^2$  değerlerine bakarak en iyi uyumu veren model seçilmiştir.

Aralık, Mayıs, Ekim aylarında ve ortalama aylık kuluçkadan çıkan civcivlere ait canlı ağırlık artışlarının metod bölümünde özellikleri verilen altı değişik büyümeye modeli ile analizleri yapılmış ve her birisi için elde edilen sonuçlar aşağıda verilmiştir.

Aralık ayı çıkışlılar (A) ; Richards modelinin en iyi uydugu; Bertalanfy ve Brody modellerininde uygunluk yönünden sırası ile bu modeli izledikleri sonucuna varılmıştır.

Mayıs ayı çıkışlılar (B) ; Richards modelinin en iyi uydugu; Stevens ve Brody modellerininde uygunluk yönünden

sırası ile bu modeli izledikleri sonucuna varılmıştır.

Ekim ayı çıkışlılar (C) ; Richards modelinin en iyi uyduğu; Bertalanffy ve Brody modellerinde uygunluk yönünden sırası ile bu modeli izledikleri sonucuna varılmıştır.

Üç döneme ait ortalama değerler ;Richards modelinin en iyi uyduğu; Bertalanffy ve Brody modellerinde uygunluk yönünden sırası ile bu modeli izledikleri sonucuna varılmıştır.

Elde edilen bulgurlara göre Richards büyümeye modelinin her dört dönemde yumurtadan çıkan Broiler anac dişilerde büyümeyi en iyi belirleyen model olduğu sonucuna varılmıştır. Richards modelinin en uygun model olmasında parametre sayısının dört olmasının en önemli rol oynadığı anlaşılmıştır. Diğer modellerde üç parametre değeri işlemeye katılırken Richards modelinde dört parametre değeri işlemeye katılmıştır. Parametre sayısının artması işlem sonuçlarının daha güvenilir olmasını sağlamaktadır.

Uyum ve güvenilirlik konusunda ikinci sırayı Brody modeli almaktadır. Brody modelinde parametre sayısı üç olmamasına rağmen elde edilen uyum Richard modeline oldukça yakındır.

Broiler anac dişilerde büyümeyin tanımlanmasında uygunluk yönünden üç ve dördüncü sıraları Stevans ve Bertalanffy modelleri almıştır.

Elde edilen bulgulara dayanarak, Mayıs ayında çıkan civcivlerin ağırlık artışlarına ait tahminin değerlerin ,

gözlenen gerçek ağırlık artışlarına ait değerlere en daha yakın sonuçlar verdiği ifade edilebilir.

TABLO 4.2: A döneminde büyümeye modellerine ait teorik değerler

T(Hafta)	BRODY A	LOJISTIK A	BERTALAN A	GOMPERTZ A	STEVENS A	RICHARDS A
2	42.8	329.2	185.9	234.5	42.8	225.8
3	172.1	372.1	252.3	290.8	172.1	293.7
4	295.6	419.6	326.5	353.8	295.6	348.6
5	413.7	471.9	407.0	423.2	413.7	419.9
6	526.6	529.2	492.6	498.2	526.6	496.8
7	634.6	591.5	581.8	578.2	634.5	578.6
8	737.7	658.9	573.5	662.3	737.7	664.1
9	836.3	731.2	766.7	749.6	836.3	752.7
10	930.6	808.1	860.3	839.3	930.6	843.2
11	1020.7	889.4	953.6	930.4	1020.7	934.9
12	1106.8	974.5	1045.9	1022.1	1106.8	1026.8
13	1189.2	1062.8	1136.4	1113.6	1189.1	1118.3
14	1267.9	1153.5	1224.9	1204.1	1267.9	1208.6
15	1343.1	1245.9	1310.8	1293.1	1343.1	1297.1
16	1415.0	1338.9	1393.7	1380.1	1415.0	1383.3
17	1483.7	1431.7	1474.0	1464.4	1483.7	1466.9
18	1549.5	1523.4	1550.9	1545.8	1549.5	1547.4
19	1612.3	1613.1	1624.5	1624.0	1612.3	1624.3
20	1672.3	1700.0	1694.7	1698.8	1672.3	1698.7
21	1729.7	1783.3	1761.5	1770.0	1729.7	1769.0
22	1784.6	1862.7	1824.9	1837.6	1784.6	1835.7
23	1837.0	1937.5	1885.0	1901.4	1837.0	1898.8
27	2024.7	2187.3	2093.8	2120.7	2024.7	2115.9
31	2181.3	2360.2	2257.2	2287.0	2181.3	2281.6
35	2312.2	2471.2	2382.8	2409.7	2312.2	2404.9
39	2421.4	2537.0	2478.2	2498.5	2421.4	2494.9
43	2512.6	2579.2	2550.1	2561.8	2512.6	2559.9
47	2588.7	2602.6	2604.0	2606.6	2588.7	2606.3
51	2652.3	2616.1	2644.1	2638.0	2652.3	2639.3
55	2705.4	2629.6	2674.0	2660.0	2705.4	2662.7
59	2749.7	2628.2	2696.1	2675.3	2749.7	2679.2
63	2786.7	2630.7	2712.5	2686.0	2786.7	2690.8
<hr/>						
ARTIK KARELER						
TOPLAMI	260045.1	147246.8	128495.5	114139.9	260045.2	115404.41
ALFA						
PARAMATRESİ	2973.9	2634.0	2758.7	2710.1	2973.9	2718.1518
ILISKİ						
KATSAYISI	0.987692	0.993031	0.99391	0.994578	0.98759	0.994538

TABLO 4.3: B döneminde büyümeye modellerine ait teorik değerler

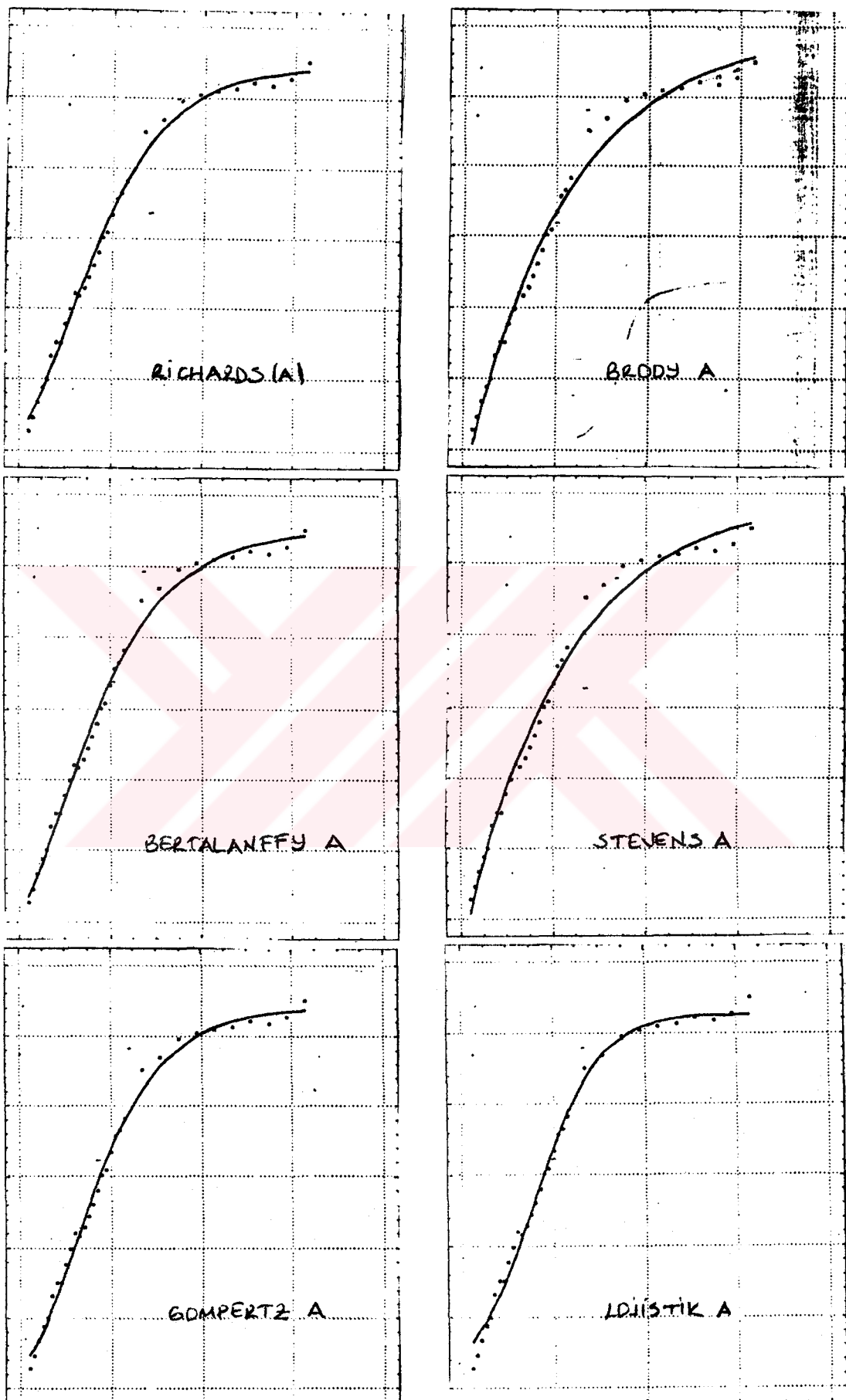
T(Hafta)	BRODY B	LOGISTIK B	BERTALAN B	GOMPERTZ B	STEVENS B	RICHARDS B
2	74.1	401.7	241.5	296.3	74.0	98.6
3	208.5	448.8	313.9	358.0	208.4	218.8
4	337.1	500.3	393.0	425.8	337.0	338.7
5	460.1	556.3	477.6	499.2	460.0	456.3
6	577.8	617.0	566.4	577.7	577.7	570.7
7	690.5	682.2	658.3	660.4	690.3	681.5
8	798.2	752.0	752.3	746.7	798.1	788.5
9	901.3	826.1	847.4	835.7	901.2	891.5
10	1000.0	904.4	942.7	926.6	999.8	990.7
11	1094.4	986.4	1037.5	1018.6	1094.2	1085.9
12	1184.7	1071.6	1131.2	1111.0	1184.5	1177.3
13	1271.1	1159.6	1223.2	1203.1	1270.9	1265.0
14	1353.8	1249.5	1313.2	1294.3	1353.6	1349.1
15	1432.9	1341.9	1400.8	1384.0	1432.7	1429.6
16	1508.6	1432.7	1485.6	1471.6	1508.4	1506.9
17	1581.0	1524.4	1567.5	1557.0	1580.8	1580.6
18	1650.3	1615.0	1646.4	1639.5	1650.1	1651.2
19	1716.5	1704.0	1722.1	1719.1	1716.3	1718.8
20	1780.0	1790.5	1794.5	1795.5	1779.8	1783.4
21	1840.7	1874.0	1863.6	1868.5	1840.4	1845.2
22	1898.7	1954.0	1929.5	1938.1	1898.5	1904.2
23	1954.3	2030.0	1992.2	2004.1	1954.1	1960.7
27	2153.5	2289.7	2211.8	2233.9	2153.3	2162.4
31	2320.5	2477.7	2386.3	2412.2	2320.2	2330.2
35	2460.4	2604.5	2522.7	2546.8	2460.1	2469.6
39	2577.7	2686.1	2629.1	2646.6	2577.4	2585.2
43	2675.9	2736.3	2709.9	2719.6	2675.7	2681.1
47	2758.3	2767.9	2770.3	2772.4	2758.0	2760.6
51	2827.3	2786.6	2816.9	2810.3	2827.0	2826.3
55	2885.2	2797.9	2852.1	2837.5	2884.9	2880.9
59	2933.6	2804.6	2878.7	2856.9	2933.3	2925.9
63	2974.3	2808.5	2898.7	2870.7	2974.0	2963.1
ARTIK KARELER TOPLAMI	65494.7	413222.9	127281.9	192664.3	65496.6	63476.65
ALFA PARAMATRESİ	3184.473	2814.3776	2958.53	2904.36	3184.155	3141.12
ILISKİ KATSAVİSİ	0.99719	0.982324	0.9945	0.9917	0.9971	0.9972

\* TABLO 4.4: C döneminde büyümeye modellerine ait teorik değerler

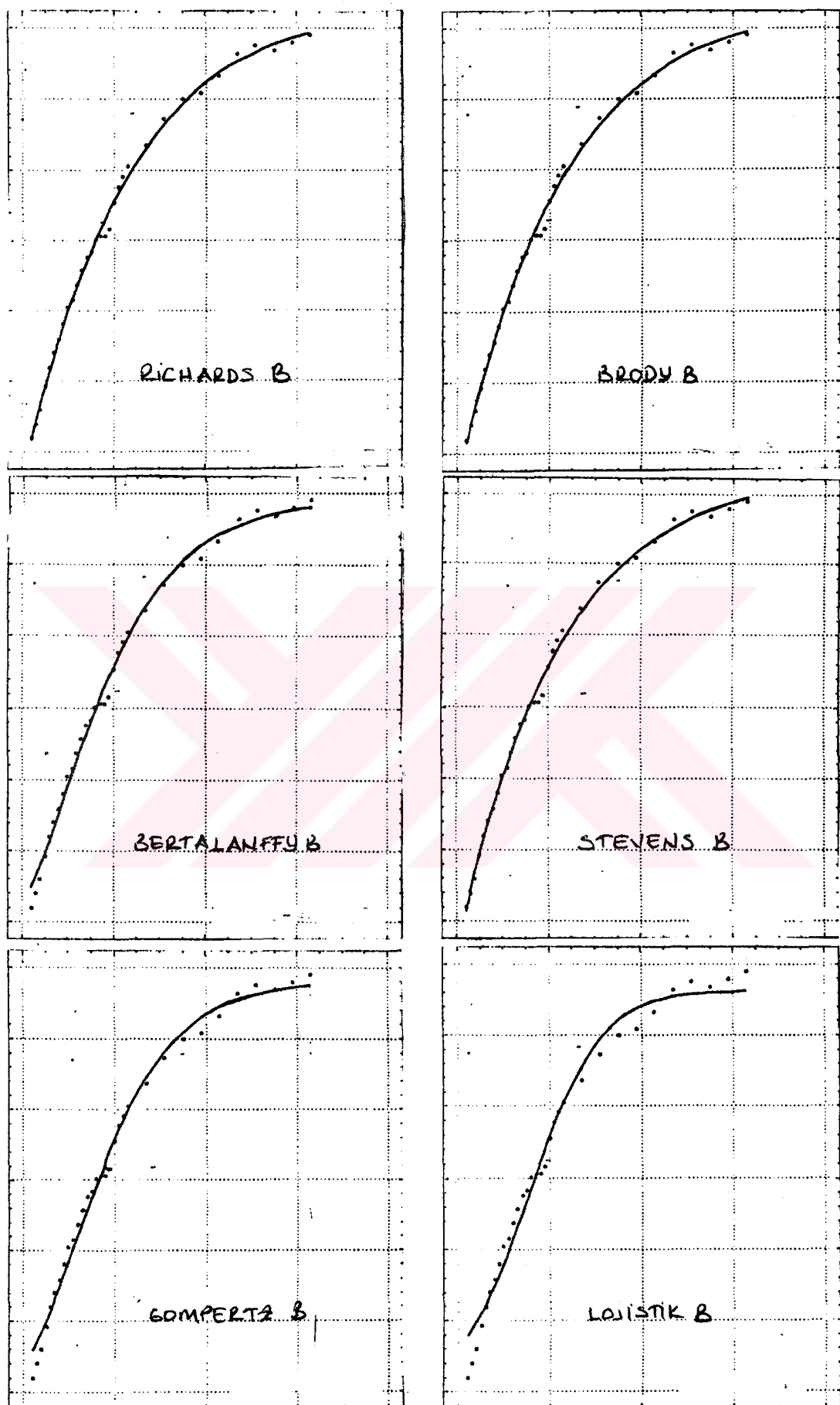
T(Hafta)	BRODY C	LOJISTIK C	BERTALAN C	GOMPERTZ C	STEVENS C	RICHARDS C
2	144.9	390.4	263.0	4.6	144.9	242.6
3	269.5	437.8	336.0	5.2	269.6	322.1
4	388.4	489.7	414.9	5.7	388.4	406.9
5	501.7	546.1	497.9	6.3	501.8	495.3
6	609.9	607.0	584.3	6.9	609.9	585.9
7	713.0	672.5	672.9	7.6	713.1	677.6
8	811.4	742.4	762.5	8.3	811.4	769.4
9	905.2	816.3	852.4	9.1	905.3	860.4
10	994.7	894.0	941.8	9.8	994.8	950.2
11	1080.1	974.8	1030.1	10.5	1080.1	1038.1
12	1161.5	1058.3	1116.7	11.5	1161.6	1123.9
13	1239.2	1143.8	1201.2	12.3	1239.2	1207.0
14	1313.2	1230.4	1283.2	13.2	1313.3	1287.4
15	1383.9	1317.4	1362.5	14.2	1383.7	1364.8
16	1451.3	1404.0	1438.8	15.1	1451.3	1439.2
17	1515.6	1489.4	1512.0	16.1	1515.6	1510.5
18	1576.9	1572.8	1582.1	17.1	1576.9	1578.6
19	1635.3	1653.6	1649.0	18.1	1635.4	1643.6
20	1691.1	1731.1	1712.6	19.2	1691.1	1705.4
21	1744.3	1804.9	1773.1	20.2	1744.3	1764.2
22	1795.0	1874.6	1830.4	21.3	1795.0	1820.1
23	1843.4	1939.9	1884.5	22.4	1843.4	1873.0
27	2015.6	2155.9	2072.1	26.8	2015.7	2057.4
31	2158.2	2304.3	2218.2	31.4	2158.2	2203.3
35	2276.1	2399.9	2330.4	35.8	2276.1	2317.5
39	2373.8	2458.8	2415.6	40.2	2373.8	2408.1
43	2454.6	2494.3	2479.8	44.4	2454.6	2474.5
47	2521.4	2515.3	2528.0	48.3	2521.4	2527.0
51	2576.8	2527.6	2563.9	51.9	2576.8	2567.3
55	2622.6	2534.8	2590.6	55.2	2622.6	2598.1
59	2660.5	2538.9	2610.5	58.3	2660.5	2621.6
63	2691.9	2541.3	2625.2	61.0	2691.9	2639.5
ARTIK KARELER						
TOPLAMI	107970.0	179753.1	75658.0	36.3	107970.2	70046.016
ALFA						
PARAMATRESİ	2842.4905	2544.6724	2666.9852	80.5319	2842.49	2696.177
ILISKİ KATSAYISI						
	0.994	0.9901	0.9958	0.9942	0.994	0.9961

TABLO 4.5: G döneminde büyümeye modellerine ait teorik değerler

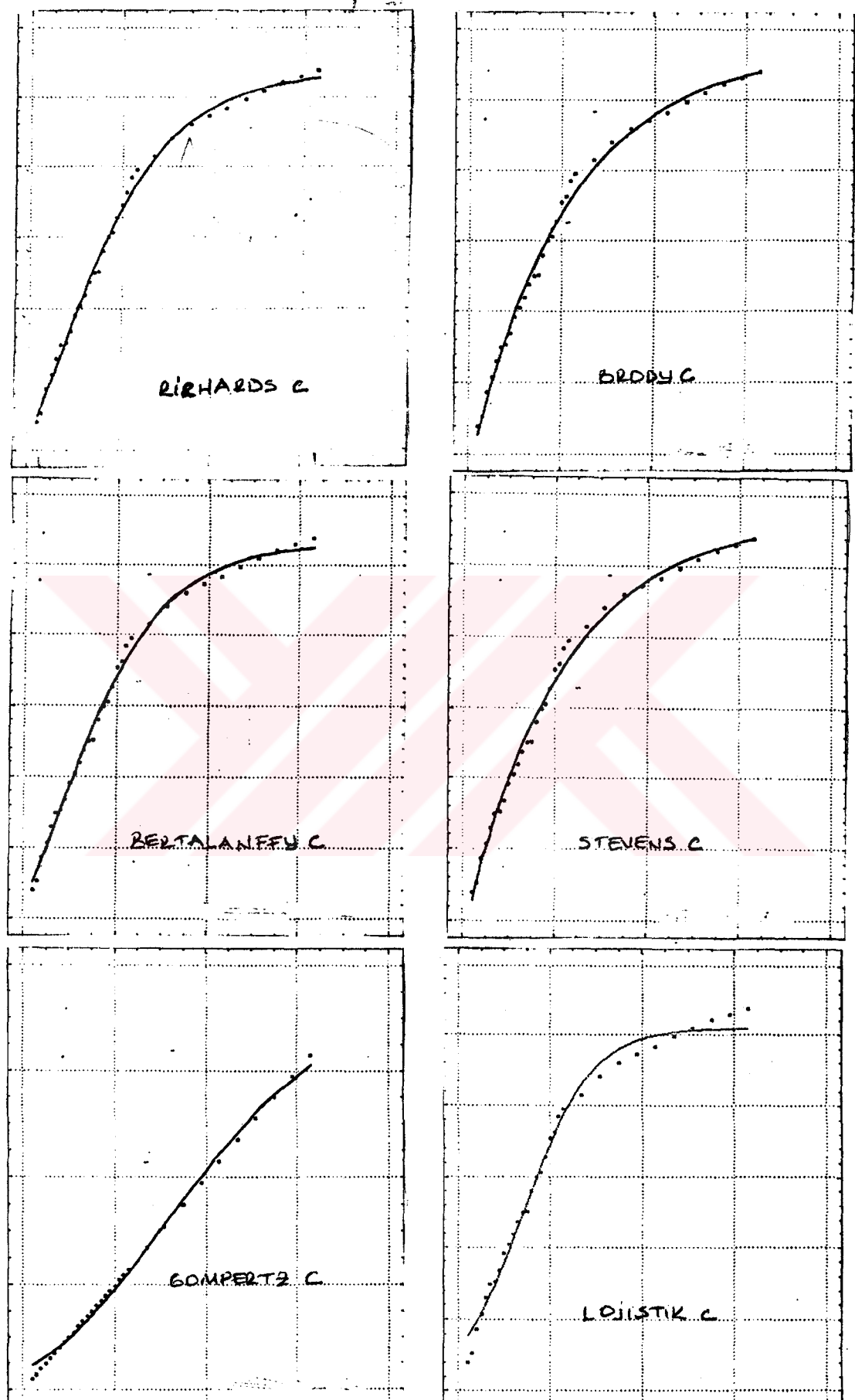
BRODY G	LOJİSTİK G	BERTALAN G	GOMPERTZ G	STEVENS G	RICHARDS G
67.2	373.5	229.4	279.1	87.3	195.3
216.7	419.3	300.2	338.4	216.7	275.5
340.4	469.7	377.7	404.8	340.3	362.2
458.5	524.6	460.6	476.9	458.5	453.5
571.5	584.3	547.7	554.0	571.4	547.6
679.4	648.7	637.7	635.4	579.3	643.2
782.5	717.7	729.6	720.3	782.4	739.3
981.0	791.2	822.4	807.7	880.9	834.8
975.2	868.8	915.9	896.9	975.0	929.2
1065.2	950.3	1007.4	987.1	1065.0	1021.9
1151.1	1034.9	1098.3	1077.5	1150.9	1112.3
1233.3	1122.2	1187.4	1167.3	1233.1	1200.2
1311.8	1211.3	1274.2	1256.0	1311.5	1285.3
1386.8	1301.5	1358.5	1343.0	1386.5	1367.5
1458.4	1392.0	1439.9	1427.8	1458.2	1446.5
1526.9	1482.0	1518.3	1510.0	1526.7	1522.4
1592.4	1570.6	1593.6	1589.3	1592.1	1595.0
1654.9	1657.0	1665.6	1665.4	1654.6	1664.5
1714.7	1740.7	1734.4	1738.2	1714.4	1730.7
1771.8	1820.9	1799.8	1807.6	1771.5	1793.8
1826.3	1897.2	1862.0	1873.4	1826.0	1853.8
1878.4	1969.3	1921.0	1935.7	1878.2	1910.8
2064.8	2211.1	2126.2	2150.2	2064.5	2110.6
2220.2	2380.7	2287.4	2314.1	2219.9	2270.1
2349.7	2491.7	2412.0	2436.1	2349.4	2396.2
2457.7	2561.0	2507.2	2525.1	2457.4	2495.0
2547.8	2603.0	2579.4	2589.2	2547.5	2572.1
2622.8	2628.1	2633.8	2635.0	2622.6	2631.9
2685.4	2642.8	2674.6	2667.5	2685.2	2678.3
2737.6	2651.5	2705.1	2690.5	2737.3	2714.1
2781.1	2656.5	2727.9	2706.6	2780.9	2741.7
2817.3	2659.4	2744.9	2718.0	2817.1	2762.9
<b>TEK KARELER</b>					
TOPLAMI	87612.58	191880.4	54134.29	76319.83	87613.49
<b>ALFA</b>					
ARAMATREBİ	2999.129	2663.499	2793.333	2744.486	2999.031
<b>LISKI</b>					
TEAVİSİ	0.9957	0.99075	0.987391	0.996321	0.99577
<b>0.997598</b>					



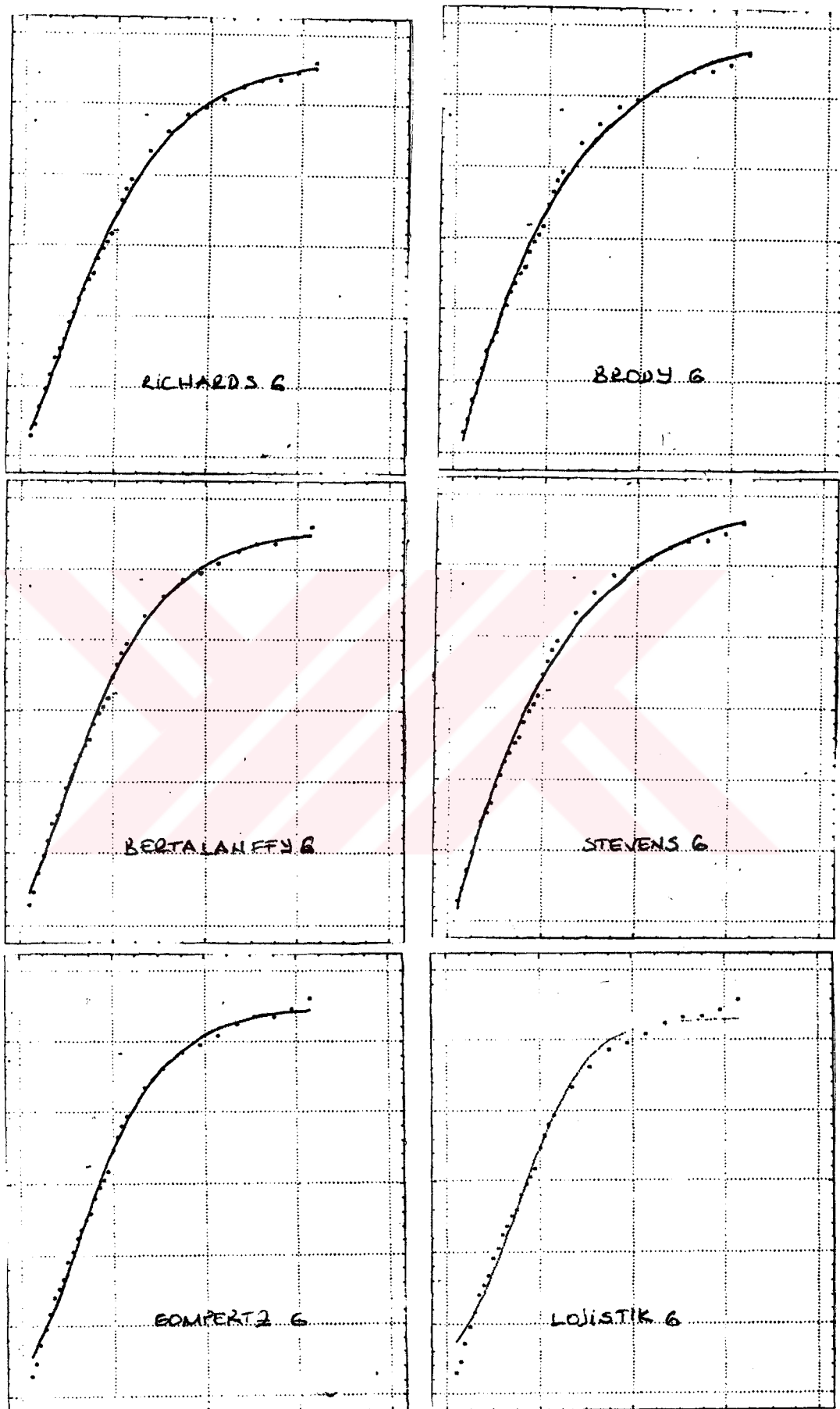
Grafik 4.2 Aralık çıkışlı civcivlerde altı modele göre belirlenen büyümeye eğrileri.



Grafik 4.3 Mayıs çıkışlı civcivlerde altı modelde göre belirlenen büyümeye eğrileri



Grafik 4.4 . Ekim çıkışlı civcivlerde altı modelde göre belirlenen büyümeye eğrileri



Grafik 4.5 Ayların ortalama çıkışlı civcivlerde altı modelle göre belirlenen büyümeye eğrileri

OZET

Bu çalışma boyomayı tanımlayan modeller karşılaştırılarak boyome modellerinden doğrusal olmayan boyome için en uygun istatistik modelin belirlenmesi amacıyla düzenlenmiştir.

Çalışmanın biyolojik materyalini Aralık, Mayıs ve ekim aylarında kuluçkadan çıkan Broiler damızlık dişi civcivler oluşturmuştur. Civcivlerin 63 onço aya kadar boyomeleri haftalık canlı ağırlık tartımları ile belirlenmiştir. Bu veriler, altı doğrusal olmayan boyome modeli ile işlenmiştir. İstatistik işlemlerde Statgraph bilgisayar programı kullanılmıştır.

Elde edilen bulgular Mayıs ayında kuluçkadan çıkan civcivlerin boyomelerini belirleyen canlı ağırlıklarına ait değerlerin, gözlenen toplam materyalin değerlerine en yakın sonuçlar verdiği görülmüştür.

Elde edilen bulgulara göre Richards boyome modelinin gerek ölçü dönemde kuluçkadan çıkan civcivler gerekse ölçü dönemi birarada ele alan tüm biyolojik materyal için boyomayı en iyi belirleyen model olduğu sonucuna varılmıştır.

Uyum ve güvenirlik konusunda Richards modelini sırasıyla, Brody, Stevens, Bertalanffy, Gompertz ve lojistik modelleri izlemiştir. Uyum ve güvenirlik için kriterler  $\alpha$  değeri, hata kareler toplamı,  $R^2$  determinasyon katsayısidır. Richards modelinde  $\alpha$ , HKT ve  $R^2$ , sırasıyla 3141.12, 63 476.65, 0.9972 dir. Hata

kareler toplamı yönünden modellere ait değerler yukarıdaki sıra ile , 65 494.7 , 65 496.6, 127 281.9 , 192 664.8 , 413 222.9 dur.

## SUMMARY

This study was prepared to find the best fitted statistical model for the non-linear growth of poultry.

The biological material of this study consisted of Broiler breeding female chicks which hatched in December, May and October. The growth of chickens was measured with weekly live weights until 63 th months of age. The data was processed with six non-linear growth models. The statgraph program was used for the statistical procedure.

The results revealed that the chicks hatched in May had nearest values to the combined material.

The results showed that Richards growth model was the best model in explaining the growth of the chicks for the three hatching periods and also for the combined material.

In the fitting and confidency subject, the Brody, Bertalanffy, Stevens, Gompertz and logistic models followed the Richards model in the descending order of fitting and Confidence. The criteria for fitting were value, error sum of squares and determination coefficient. In the Richards model the values for  $\alpha$  , HKT,  $R^2$  were 3 141.12, 63 476.65, 0.9972, respectively. The error sum of squares for the other models were 65 494.7, 65 496.6, 127 281.9, 192 664.8, 423 222.9, in the above order.

KAYNAKLAR

1. ABRAMOWITZ, M. and STEGUN, I.A. (Eds.) (1972). Handbook of Mathematical Functions with Formulas, Graphs, and Mathematical Tables, Equation number (4.2.21) at 70 page. U.S. Department of commerce , National Bureau of standards, Applied Mathematics Series. 55; Washington, D.C.
2. ALTMAN and DITTMER, (1964) : Biology Data Book, Amer. Soc. Exp. Biol.
3. BERTALANFFY, L. VON. (1938) : A Quantitative Theory of Organic Growth (Inquiries on Growth Laws. II.), Human Biology, 10(2) : 181-213
4. BRODY, S. (1945) : Bioenergetics and Growth. New York, Reinold Publishing Cop.
5. BRODY, S. (1964) : Bioenergetics and growth. Hafner Pub. Com. Inc., New York.
6. CALLOW; E. H. (1968) : Comparative Studies of meat II. The Changes in the Carcass during growth and fattening, and their relation to the chemical composition of the fatty and muscular tissue. J. Agri. Sci. 38: 174-199
7. COUNT, E.W. (1943) : Growth patterns of human physique : an approach to kinetic anthropometry. Hum. Biol., 15, 1-32
8. DRAPER, N.R. and SMITH, H. (1981) : Applied Regression Analysis. John-Wiley and Sons. Inc., New York.

9. FABENS, A.J. (1965) : Properties and fitting of the Von Bertalanffy growth curve. Growth 29: 265-289
10. FITZHUGH, H.A. Jr. (1976) : Analysis of Growth Curves and strategies for Altering Their Shape. J.Animal Science, 42(4) :1036-1051
11. GLASSMAN, D.M., COELHO, A.M.JR., and BRAMBLETT.C.A.(1984) Weight growth in Savannah Baboons : a longitudinal study from birth to adulthood. Growth ; 48,425-433
12. GUTTMAN , R., and GUTTMAN , L. (1965) : A new approach to the analysis of growth patterns : the simplex structure of intercorrelations of measurements. Growth 29: 219-232
13. LAIRD. A.K., (1965). Dynamics of normal growth. Growth 29:233-248
14. MC. MEEKAN C.P.(1959). Principles of Animal Production. Whitecombe-Tombe, Ltd., London, Melbourne, Sydney, Perth.
15. MITCHELL, H. H., CARD, L.E., and HAMILTON, T. (1931). A Technical study of the growth of white Leghorn chickens. Ill.Agri. Exp.Sta. Bull. No. 367
16. NELDER, J.A.(1962): An Alternative Form of Generalized logistic Eguation. Biometrics, 18 : 614-616
17. PALSSON,H., and VERGES, J.B.(1952a). Effect of plane of nutrition on growth and development of carcass quality in Lambs. part I. The effect of high and low planes of nutrition at different ages. J. Agri. Sci. 42:1-92

18. RICHARDS, J.F. (1959) : A Flexible Growth Function for Empirical Use. *J.Experimental Botany*, 10:290-300
19. ROBERTSON, T.B. (1923): The Chemical Basis of Growth and Senescence, J.B. Lippencott Co. Philadelphia.
20. SANDLAND, R.L., (1983) : Mathematics and the growth of organism-some historical impressions. *Mat. Scientist*, 8, 11-30
21. SEBER, G.A.F., (1989) : Growth models. Nonlinear regression 7, 325-327
22. SERPER, O. (1986) : Regresyon ve Korelasyon analizi. Uygulamali İstatistik 2: 281-301
23. SHOHOJI, T and SASAKI, H. (1985). An Aspect of growth analysis of weight in Savannah Baboon. *Growth*, 49, 500-509
24. SNEDECOR, G.V. and COCHRAN, W.G. (1979) : Statistical Methods. Iowa State Un. Press. Iowa.
25. SPECTOR, S. (1956). Handbook of Biological Data. Saunders, Philadelphia.
26. STEVENS, W.L. (1951) : Asymptotic Regression. *Biometrics*, 7(3): 247-267
27. TYLER-STEARNER, (1966). *Radiat. Res.* 29:257
28. -, Hybro Parent Stock el kitabı , Ozanç-Hybro a.ş. pk. 76 Pendik-İstanbul, sy. 5 (anonim).
29. -, Ross PM3 Anac bakım ve yetişirme kılavuzu. Ross, Koytör, 1992 (anonim).

TEŞEKKÜR

Bu çalışmanın her aşamasında değerli katkı ve eleştirileri ile bana yön veren danışmanım Sayın Prof. Dr. Orhan Alpan'a, değerli fikirlerinden dolayı Sayın Prof. Dr. Alaettin Kutsal'a, değerli zamanlarını ayırarak uygulama aşamasında yardımcı olan Doç. Dr. Turhan Menteş 'e, gerçek verilerle uygulama yapılmasında yardımlarını esirgemeyen Sayın Ahmet Nazlıgol' e, Devlet İstatistik Enstitüsü İHİ Daire başkanı Sayın Nurgül Oğut' u ve Şube Müdürüm Sayın Mustafa Yanıkoglu'na, her türlü yardım ve desteklerinden dolayı Sevgili eşim Taner Ersöz'e ve Devlet İstatistik Enstitüsü 'ndeki tüm çalışma arkadaşlarına teşekkür ederim.

#### Biyografi

1966 yılında Polatlı'da doğdum. İlk ve orta öğrenimimi Polatlı'da tamamladıktan sonra 1985 yılında Anadolu Üniversitesi Fen-Edebiyat Fakültesi İstatistik bölümne girdim ve 1989 yılında mezun oldum. 1989 yılında Başbakanlık Devlet İstatistik Enstitüsünde göreve başladım ve halen aynı kuruluusta görev yapmaktayım.

EK 1

Von Bertalanffy (A) modelindeki başlangıç parametrelerinin hesaplanması :

$$142.4 = (1-\beta \cdot \exp(-k \cdot 2))^3$$

$$2352 = (1-\beta \cdot \exp(-k \cdot 31))^3$$

$$2750.7 = (1-\beta \cdot \exp(-k \cdot 63))^3$$

1. Denklemden

$$= \frac{142.4}{(1-\beta \cdot \exp(-2 \cdot k))^3}$$

$$2352 \cdot (1-\beta \cdot \exp(-2 \cdot k))^3 = 142.4 \cdot (1-\beta \cdot \exp(-31 \cdot k))^3$$

$$2750.7 \cdot (1-\beta \cdot \exp(-2 \cdot k))^3 = 142.4 \cdot (1-\beta \cdot \exp(-63 \cdot k))^3$$

$$2352 \cdot 142.4 \cdot c^3 \cdot a^3 = 2750.7 \cdot 142.4 \cdot a^3 \cdot b^3$$

$$\frac{2352}{2750.7} = \left( \frac{1-\beta \cdot \exp(-31 \cdot k)}{1-\beta \cdot \exp(-63 \cdot k)} \right)^3$$

$$0.855055076 = \left( \frac{1-\beta \cdot \exp(-31 \cdot k)}{1-\beta \cdot \exp(-63 \cdot k)} \right)^3$$

Her iki yanın 1/3 kuvvetini alırsak ;

$$0.949142375 = \frac{1-\beta \cdot \exp(-31 \cdot k)}{1-\beta \cdot \exp(-63 \cdot k)}$$

$$0.949142375 - 0.949142375 \cdot \beta \cdot \exp(-63 \cdot k) = 1-\beta \cdot \exp(-31 \cdot k)$$

$$\beta = \frac{-0.050857624}{-\exp(-31 \cdot k) + 0.949142375 \cdot \exp(-63 \cdot k)}$$

k değerini bulmak için ;

$$2750.7 = \frac{142.4}{(1-\beta \exp(-2*k))^3} * (1-\beta \exp(-63*k))^3$$

$$(2750.7) * (1-\beta \exp(-2*k))^3 = 142.4 * (1-\beta \exp(-63*k))^3$$

Her iki yanın 1/3 kuvvetini alırsak ;

$$14.0113853 * (1-\beta * (-2*k)) = 5.221997542 * (1-\beta * \exp(-63*k))$$

$$2.683146667 * (1-\beta * \exp(-2*k)) = 1-\beta * (-63*k)$$

$$1.683146667 - 2.683146667 * \beta * \exp(-2*k) = -\beta * \exp(-63*k)$$

$$1.683146667 = -\beta * \exp(-63*k) + 2.683146667 * \beta * \exp(-2*k)$$

$$1.683146667 = \beta * (-\exp(-63*k) + 2.683146667 * \exp(-2*k))$$

$$-0.050857624$$

$$1.683146667 = \frac{-0.050857624}{(-\exp(-31*k) + 0.949142375 * \exp(-63*k))}$$

$$*(-\exp(-63*k) + 2.683146667 * \exp(-2*k))$$

F fonksiyonu ;

$$F = -\exp(-63*k) + 2.683146667 * \exp(-2*k)$$

T fonksiyonu ;

$$T = -0.050857624 / (-\exp(-31*k) + 0.949142375 * \exp(-63*k))$$

k değeri F/T değerine eşittir, yani ;

1.683146667 = F/T değerini sağlayan k değeri bulunur.

Bulunan k değeri denklemlerde yerine konularak regresyon katsayıları bulunur.

EK 21

BU PROGRAM VON BERTALANFFY (A) MODELİNİ HESAPLAMAK İÇİN KULLANILIR.

```
10  K = 8.444112E-02
20  F = (-EXP(-63*K)+2.683146667**EXP(-2*K))
30  T = -.050857624#/(-EXP(-31*K)+.949142375**EXP(-63*K))
40  E = F*T
50  PRINT "K =" ; K, "E =" ; E
60  LPRINT "K =" ; K, "E =" ; E
70  B = -.050857624#/(-EXP(-31*K)+.949142375**EXP(-63*K))
80  A = 142.4/(1-B*EXP(-2*K))^3
90  D1 = A*(1-B*EXP(-2*K))^3
100 D2 = A*(1-B*EXP(-31*K))^3
110 D3 = A*(1-B*EXP(-63*K))^3
120 PRINT "B =" ; B, "A =" ; A
130 LPRINT "B =" ; B, "A =" ; A
140 PRINT "D1 =" ; D1, "D2 =" ; D2, "D3 =" ; D3,
150 LPRINT "D1 =" ; D1, "D2 =" ; D2, "D3 =" ; D3,
```

E PROGRAM ÇIKTISI :

K = 8.444112E-02

A = 2730.97    β = 0.7443218

DENKLEM 1 = 142.4

DENKLEM 2 = 2351.993

DENKLEM 3 = 2750.691

EK 2.2.

[ BU PROGRAM BRODY (A) MODELİNİ HESAPLAMAK İÇİN KULLANILIR. ]

```
10  K = .060229998#
20  D = 2352*EXP(-2*K)-142.4*EXP(-31*K)-2209.6*EXP(-63*K)
30  E = EXP(-2*K)-EXP(-31*K)
40  F = D/E
50  PRINT "F =" ; F, "K =" ; K
60  LPRINT "F =" ; F, "K =" ; K
70  A = (2352*EXP(-2*K)-142.4*EXP(-31*K))/(EXP(-2*K)-EXP(-31*K))
80  B = 2209.6/(2352*EXP(-2*K)-142.4*EXP(-31*K))
90  PRINT "a =" ; A, "b =" ; B
100 LPRINT "a =" ; A, "b =" ; B
110 D1 = A*(1-B*EXP(-2*K))
120 D2 = A*(1-B*EXP(-31*K))
130 D3 = A*(1-B*EXP(-63*K))
140 PRINT "d1 =" ; D1, "d2 =" ; D2, "d3 =" ; D3
150 LPRINT "d1 =" ; D1, "d2 =" ; D2, "d3 =" ; D3
```

[ PROGRAM ÇIKTISI. ]

K = 0.06023

A = 2818.606 β = 1.071027

DENKLEM 1 = 142.4002

DENKLEM 2 = 2352

DENKLEM 3 = 2750.7

**EK 2.3**

[ BU PROGRAM BRODY (B) MODELİNİ HESAPLAMAK İÇİN KULLANILIR. ]

```
10  K = 4.824432E-02
20  D = 2365.1*EXP(-2*K)-98.2*EXP(-31*K)-2266.9*EXP(-63*K)
30  E = EXP(-2*K)-EXP(-31*K)
40  F = D/E
50  PRINT "F =" ; F, "K =" ; K
60  LPRINT "F =" ; F, "K =" ; K
70  A = (2365.1*EXP(-2*K)-98.2*EXP(-31*K))/(EXP(-2*K)-EXP(-31*K))
80  B = 2266.9/(2365.1*EXP(-2*K)-98.2*EXP(-31*K))
90  PRINT "a =" ; A, "b =" ; B
100 LPRINT "a =" ; A, "b =" ; B
110 D1 = A*(1-B*EXP(-2*K))
120 D2 = A*(1-B*EXP(-31*K))
130 D3 = A*(1-B*EXP(-63*K))
140 PRINT "d1 =" ; D1, "d2 =" ; D2, "d3 =" ; D3
150 LPRINT "d1 =" ; D1, "d2 =" ; D2, "d3 =" ; D3
```

[ PROGRAM ÇIKTIĞI : ]

F = 2949.329 K = 4.824432E-02

A = 3107.983 B = 1.0665

DENKLEM 1 = 98.20039

DENKLEM 2 = .2365.1

DENKLEM 3 = 2949.33

**EK 2.4**

C BU PROGRAM BRODY (C) MODELİNİ HESAPLAMAK İÇİN KULLANILIR. ]

```
10 K = 5.028383E-02
20 D = 2204.9*EXP(-2*K)-201.8*EXP(-31*K)-2003.1*EXP(-63*K)
30 E = EXP(-2*K)-EXP(-31*K)
40 F = D/E
50 PRINT "F =" ; F, "K =" ; K
60 LPRINT "F =" ; F, "K =" ; K
70 A = (2204.9*EXP(-2*K)-201.8*EXP(-31*K))/(EXP(-2*K)-EXP(-31*K))
80 B = 2003.1/(2204.9*EXP(-2*K)-201.8*EXP(-31*K))
90 PRINT "a =" ; A, "b =" ; B
100 LPRINT "a =" ; A, "b =" ; B
110 D1 = A*(1-B*EXP(-2*K))
120 D2 = A*(1-B*EXP(-31*K))
130 D3 = A*(1-B*EXP(-63*K))
140 PRINT "d1 =" ; D1, "d2 =" ; D2, "d3 =" ; D3
150 LPRINT "d1 =" ; D1, "d2 =" ; D2, "d3 =" ; D3
```

C CIKTIARI YAZ : ]

K = 5.028383E-02
A = 2312.04 B = 1.026448
DENKLEM 1 = 201.7999
DENKLEM 2 = 2204.9
DENKLEM 3 = 2690.7

**EK 2.5**

C BU PROGRAM BRODY (G) MODELİNİ HESAPLAMAK İÇİN KULLANILIR.

```
10  K=5.255439E-02
20  D=2307.3333##EXP(-2*K)-147.46667##EXP(-31*K)-2159.86663##EXP(-63*K)
30  E=EXP(-2*K)-EXP(-31*K)
40  F=D/E
50  PRINT "F =" ;F,"K =" ;K
60  LPRINT "F =" ;F,"K =" ;K
70  A=(2307.3333##EXP(-2*K)-147.46667##EXP(-31*K))/(EXP(-2*K)-EXP(-31*K))
80  B=2159.86663#/ (2307.3333##EXP(-2*K)-147.46667##EXP(-31*K))
90  PRINT "a =" ;A,"b =" ;B
100 LPRINT "a =" ;A,"b =" ;B
110 D1=A*(1-B*EXP(-2*K))
120 D2=A*(1-B*EXP(-31*K))
130 D3=A*(1-B*EXP(-63*K))
140 PRINT "d1 =" ;D1,"d2 =" ;D2,"d3 =" ;D3
150 LPRINT "d1 =" ;D1,"d2 =" ;D2,"d3 =" ;D3
```

C PROGRAM ÇIKTISI    J

K = 0.052554

A = 2908.816    B = 1.054516

DENKLEM 1 = 147.4668

DENKLEM 2 = 2307.333

DENKLEM 3 = 2796.91

EK 3.1

VON BERTALANFFY (A) MODELİNİN STATGRAPH PROGRAMI ÇIKTISI

Model Fitting Results

	estimate	stnd.error	ratio
Coefficient 1	2842.49066	47.0530996	60.4103
Coefficient 2	1.04320	.0149702	69.6851
Coefficient 3	.04730	.0021533	21.9663

al iterations = 3

Total function evaluations = 1

Analysis of Variance for the Full Regression

source	sum of squares	df	mean square	ratio
Model	93382349	3	31127450	8361
Error	107969.97	29	3723.10	
Total	93490319	32		
Total (corr.)	18088356	31		

squared = 0.994031

EK 3.2

BRODY (A) MODELİNİN STATGRAPH PROGRAMI ÇIKTISI

Model Fitting Results

	estimate	stnd.error	ratio
Coefficient 1	2973.87358	77.8773249	38.1866
Coefficient 2	1.07863	.0224706	48.0017
Coefficient 3	.04510	.0030561	14.7570

all iterations = 4

Total function evaluations = 1

Analysis of Variance for the Full Regression

source	sum of squares	df	mean square	ratio
Model	94491172	3	31497057	3513
Error	260045.27	29	8967.08	
Total	94751217	32		
Total (corr.)	21127868	31		

quared = 0.987692

EK 3.3

BRODY (B) MODELİNİN STATORAPH PROGRAMI ÇIKTISI

Model Fitting Results

	estimate	stnd.error	ratio
Coefficient 1	3184.46834	40.3318665	78.957
Coefficient 2	1.06694	.0103967	102.623
Coefficient 3	.04417	.0014419	30.631

all iterations = 3

Total function evaluations = 10

Analysis of Variance for the Full Regression

source	sum of squares	df	mean square	ratio
Model	1.0743E0008	3	3.5810E0007	1.5856E0004
Error	65494.795	29	2258.441	
Total	1.0749E0008	32		
Total (corr.)	23377416	31		

squared = 0.997198

EK 3.4

BRODY (G) MODELİNİN STATGRAPH PROGRAMI ÇIKTISI

Model Fitting Results

	estimate	stnd.error	ratio
Coefficient 1	2999.12886	44.7455000	67.0264
Coefficient 2	1.06335	.0128187	82.9529
Coefficient 3	.04547	.0017871	25.4414

al iterations = 3

Total function evaluations = 1

Analysis of Variance for the Full Regression

source	sum of squares	df	mean square	ratio
Model	98303659	3	32767886	10846
Error	87612.583	29	3021.124	
Total	98391272	32		
Total (corr.)	20746158	31		

squared = 0.995777